

日大生産工・森康彦、(株)横河橋梁製作所 芦田 潤  
 東大宇宙航空研究所 岸 輝雄、堀内 良

1. 緒言 溶接構造用鋼板について引張-圧縮応力下で、予ひずみ量とバウシンガー効果(以下BEと略す)の関係、焼純によるBEの回復を測定し、2,3提案されているBEによる降伏応力の低下を表す関係式、ならびにひずみ時効の考え方からBEの回復の活性化エネルギーについて検討してみた。

2. 実験方法 供試材はSM50A, SM58Q( $900^{\circ}\text{C}, 20\text{min} \rightarrow \text{W.Q.} \rightarrow 600^{\circ}\text{C}, 1.5\text{hr}$ )であり、直径8mm、平行部長さ10mmの丸棒試験片を用いた。引張-圧縮試験は特殊治具を取り付いたインストロン型試験機を行った。焼純効果は予変形材を取りはずし、所定温度で1時間保持した後、引張および圧縮試験を行った。

3. 実験結果 図1に0.1%耐力を定義した $\bar{\sigma}_B$ および $\epsilon_B$ と加工硬化量 $\Delta\sigma$ の比を $\epsilon_p$ との関係を示す。予ひずみとともに見かけ上のBEは増加するが、 $\Delta\sigma$ を規格化したBEは $\epsilon_p$ が2%付近で急に減少し、その後を境として構造が急速に安定化されることわかる。図2は5%予ひずみ材のBEの焼純による変化、ならびに常温の結果の $\bar{\sigma}_{B(R.T.)}$ を基準としたBEの回復する割合を示したものである。

4. 検討 BEによる降伏応力の低下 $\bar{\sigma}_B$ と予ひずみ $\epsilon_p$ との関係式としてKishi<sup>(1)</sup>らは $\bar{\sigma}_B = k' \epsilon_p^m$ を、またGupta<sup>(2)</sup>らは $\bar{\sigma}_B = m \log \epsilon_p + k$ を多くの金属に共通する関係として提案している。Kishiらの関係で実験結果を整理したのが図3である。図の破線がその関係を近似した直線であるが、実線で示すように $\epsilon_p$ 3%付近を境として $m'$ と $k'$ の値の異なる関係をとるようと思われる。Guptaらの式についても同様である。これらの関係式の定数を求めた結果を表1に示す。また、Jamieson<sup>(3)</sup>らは高張力鋼で5%以下の $\epsilon_p$ について $\bar{\sigma}_B / \sigma_F = \epsilon_p / (a + b \epsilon_p)$ 、 $a$ はCとMnの含有量で決まる定数、なる関係を導いている。本実験結果のSM50Aではよい一致が得られたが、SM58Qではよく成立とは云いがたかった。これらの関係式はそれぞれ一長一短あるが、多軸応力下での降伏条件式に拡張できるのはKishiらの式である。

つぎに、図2から明らかなように、ひずみ時効の効果がBEの回復の原因の一つにはいる。そこで、このBEの回復からこの種の鋼材のBE回復の活性化エネルギーを求めると、18000~20000 cal/molが得られた。

#### 参考文献

- (1). T.Kishi and T.Tanabe, J.Mech.Phys.Solid, Vol.21, 303 (1973).
- (2). S.P.Gupta and S.P.Kodali, Scripta Met., Vol.10, 111 (1976).
- (3). R.M.Jamieson and J.E.Hood, J.Iron Steel Inst., 209, 46 (1971).

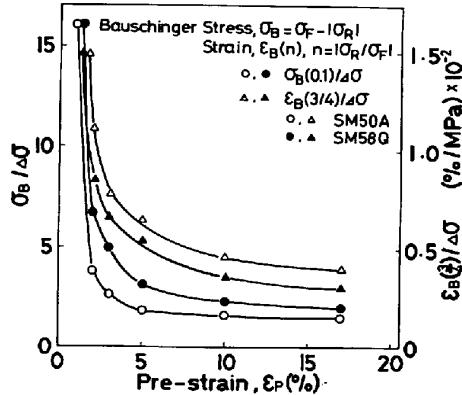


図1.  $10^{\circ}\text{C}$ で規格化したBEの予ひずみによる変化

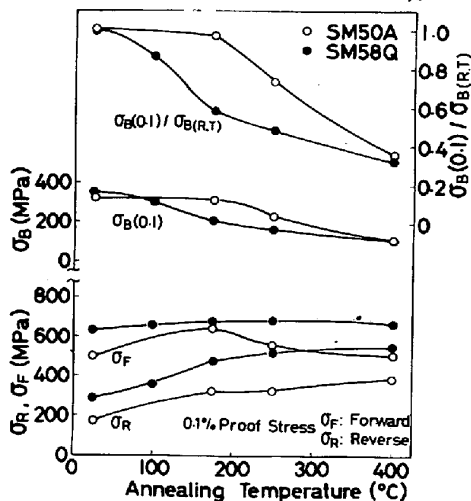


図2. BEの焼純による変化

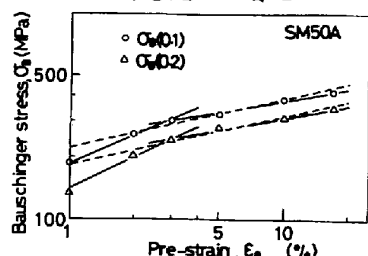


図3. Log \bar{\sigma}\_B - Log \epsilon\_p の関係

表1.  $\bar{\sigma}_B$ と $\epsilon_p$ の関係式の定数

CODE	$\sigma_B$	$\epsilon_p < 3\%$	$\epsilon_p > 3\%$	$\epsilon_p < 3\%$	$\epsilon_p > 3\%$		
	$m'$	$k'$	$m'$	$k'$	$m'$	$k'$	
SM58Q	0.1	0.20	250	0.27	232	0.16	275
	0.2	0.26	171	0.31	162	0.17	203
SM50A	0.1	0.24	223	0.46	185	0.19	245
	0.2	0.24	183	0.48	143	0.20	197

$\sigma_B = k' \epsilon_p^{m'}$ 
 $\sigma_B = m \log \epsilon_p + k$